

О ЧИСЛЕННЫХ АЛГОРИТМАХ ДЛЯ НЕЛИНЕЙНО-ДИСПЕРСИОННЫХ МОДЕЛЕЙ МЕЛКОЙ ВОДЫ В ДВУМЕРНОМ СЛУЧАЕ*

Л. А. КОМПАНИЕЦ

Вычислительный центр СО РАН, Красноярск, Россия

Рассматриваются разностные схемы для двумерных вариантов нелинейно-дисперсионных моделей мелкой воды. Анализируются диссипативные и дисперсионные свойства разностных схем, приводятся результаты численных расчетов.

1. Описание нелинейно-дисперсионных моделей в двумерном случае

Следуя [1], проанализируем дисперсионные соотношения нелинейно-дисперсионных моделей (н.-д.м.) в двумерном случае. Этот анализ позволяет выделить по крайней мере три класса.

Один класс составляют н.-д.м. Грина — Нагди [2], Пелиновского — Железняк [4], Базденкова — Морозова — Погуцце [5], первая модель Перегринна [6], третья модель Дорфмана — Яговдика [7], имеющие дисперсионное соотношение

$$\omega^2 = \frac{Hg(K_1^2 + K_2^2)}{1 + \frac{H^2}{3}(K_1^2 + K_2^2)},$$

в котором частота есть вещественная функция волновых чисел K_1, K_2 и возможно построение устойчивых разностных алгоритмов.

Уравнения модели Грина — Нагди [2, 3], имеют вид

$$h_t + \nabla(hV) = 0,$$

$$DV + g\nabla\eta = -1/6(-D^2H\nabla(2\eta - H) + D^2\eta\nabla(4\eta + H) + h\nabla(2D^2\eta - D^2H)),$$

где x, y — пространственные переменные, $V = (u, v)$ — вектор скорости, η — возвышение свободной поверхности, h — полная глубина, $h = \eta + H(x, y, t)$, H — глубина бассейна, $D = \partial/\partial t + V\nabla$, $\nabla = (\partial/\partial x, \partial/\partial y)$.

*© Л. А. Компаниец, 1996.

При построении устойчивых численных алгоритмов необходимо встречающиеся в уравнении движения производные η_t , η_{tx} , η_{ty} и т. д. заменить на производные от u , v по пространственным переменным [3] ($H = H(x, y)$)

$$\eta_t + \nabla(hV) = 0,$$

$$\begin{aligned} V_t + (V\nabla)V + g\nabla\eta &= 1/6\nabla[2\eta - H][(V\nabla)H]_t + \\ &+ 1/6\nabla[2\eta - H](V\nabla)(V\nabla)H - 1/6\nabla[4\eta + H][-\nabla(hV) + (V\nabla)\eta]_t - \\ &- 1/6\nabla[4\eta + H](V\nabla)[-\nabla(hV) + (V\nabla)\eta] - 1/3h[\nabla(-\nabla(hV) + (V\nabla)\eta)]_t - \\ &- 1/3h\nabla[(V\nabla)(-\nabla(hV + (V\nabla)\eta))] + 1/6h\nabla[(V\nabla)(V\nabla)H] + 1/6h[\nabla(V\nabla)H]_t. \end{aligned} \quad (1)$$

В численных расчетах применяется следующая форма записи:

$$\eta_t + \nabla(hV) = 0,$$

$$\begin{aligned} u - 1/6\partial/\partial x[2\eta - H](V\nabla)H + 1/6\partial/\partial x(4\eta + H)[-\nabla(hV) + (V\nabla)\eta] + \\ + 1/3h\partial/\partial x[-\nabla(hV) + (V\nabla)\eta] - 1/6h\partial/\partial x((V\nabla)H) = B1, \end{aligned}$$

$$\begin{aligned} v - 1/6\partial/\partial y[2\eta - H](V\nabla)H + 1/6\partial/\partial y(4\eta + H)[-\nabla(hV) + (V\nabla)\eta] + \\ + 1/3h\partial/\partial y[-\nabla(hV) + (V\nabla)\eta] - 1/6h\partial/\partial y((V\nabla)H) = B2, \end{aligned}$$

$$B_t = \Phi(\eta, u, v, H), \quad (2)$$

где $B = (B1, B2)$,

$$\begin{aligned} \Phi(\eta, u, v, H) &= 1/6\nabla[2\eta - H](V\nabla)(V\nabla)H - 1/6\nabla[4\eta + H](V\nabla)[-\nabla(hV) + \\ &+ (V\nabla)\eta] - 1/3h\nabla[(V\nabla)(-\nabla(hV)) + (V\nabla)\eta] + \\ &+ 1/6\nabla[(V\nabla)(V\nabla)H] - 1/6(V\nabla)H\nabla(-\nabla(hV)) + \\ &+ 2/3(-\nabla(hV) + (V\nabla)\eta)\nabla(-\nabla(hV)) + 1/3\nabla(-\nabla(hV) + \\ &+ (V\nabla)\eta)(-\nabla(hV)) - 1/6(V\nabla)H(-\nabla(hV) - g\nabla\eta - (V\nabla)V. \end{aligned}$$

Несложные выкладки показывают, что уравнения (1) совпадают с уравнениями модели Пелиновского — Железняк

$$\eta_t + \nabla(hV) = 0,$$

$$V_t + (V\nabla)V + g\nabla\eta = E,$$

где

$$E = \frac{1}{h}\nabla\left(\frac{h^3}{3}R + \frac{h^2}{2}Q\right) - \nabla H\left(\frac{h}{2}R + Q\right),$$

$$R = \frac{\partial(\nabla V)}{\partial t} + (V\nabla)\nabla V - (\nabla V)^2,$$

$$Q = V_t\nabla H + (V\nabla)(V\nabla H) \quad (3)$$

и модели Базденкова — Морозова — Погуцце

$$\eta_t + \nabla(hV) = 0,$$

$$V_t + (V\nabla)V + g\nabla\eta = \frac{1}{h}\nabla A - \frac{S}{h}\nabla H,$$

где

$$A = h^2 D\left[\frac{h}{3}\nabla V + \frac{1}{2}(V\nabla H)\right],$$

$$S = hD\left[\frac{h}{2}\nabla V + (V\nabla H)\right],$$

если в последней сделать такую же замену производных η_t , η_{tx} , η_{ty} , как при преобразовании модели Грина — Нагди.

Для построения численных алгоритмов используется как форма (2), так и форма (3).

Модель Пелиновского — Железняк может быть записана в безразмерном виде с явным выделением малых параметров нелинейности α и дисперсии β [8]. Так же, как в одномерном случае [1], полагая $\alpha = O(\beta)$ и отбрасывая в модели Пелиновского — Железняк члены порядка $O(\alpha\beta)$, получим н.-д.м.

$$\eta_t + \nabla(hV) = 0,$$

$$V_t + (V\nabla)V + g\nabla\eta = \left[\frac{1}{2}H\nabla(\nabla HV) - \frac{1}{6}H^2\nabla(\nabla V)\right]_t \quad (4)$$

(первую модель Перегрин), оставляя члены $O(\alpha)$, получим модель нелинейной мелкой воды

$$\eta_t + \nabla(hV) = 0,$$

$$V_t + (V\nabla)V + g\nabla\eta = 0, \quad (5)$$

и оставляя только члены порядка $O(1)$, получим модель линейной мелкой воды

$$\eta_t + \nabla(HV) = 0,$$

$$V_t + g\nabla\eta = 0. \quad (6)$$

Третья модель Дорфмана — Яговдика

$$V_t + V(V\nabla) + g\nabla\eta + 1/2\nabla(\tilde{H}hp_{tt}) = \nabla(1/3\tilde{H}^2\frac{\partial}{\partial t}\nabla V + 1/2H\nabla\tilde{H}V_t),$$

$$h_t + \nabla[(\tilde{H} + \eta - hp)V] + 1/2\nabla(\tilde{H}\nabla hp_t) = \nabla[3\tilde{H}(\nabla hp)^2V + \tilde{H}^2\nabla\tilde{H}\nabla V]$$

позволяет учесть зависимость изменения положения дна от времени. Здесь функция, задающая дно $H(x, y, t)$, представлена как разность функции $\tilde{H}(x, y)$, не зависящей от времени, и функции $hp(x, y, t)$, учитывающей зависимость этой функции от времени $H(x, y, t) = \tilde{H}(x, y) - hp(x, y, t)$.

Второй класс моделей составляют вторая модель Перегрин

$$V_t + V(V\nabla) + g\nabla\eta = 0,$$

$$h_t + \nabla(hV) + 1/2\nabla(-1/3H^3\nabla(\nabla V) + H^2\nabla(\nabla HV)) = 0,$$

$$H = H(x, y)$$

и ее обобщение на случай, когда глубина бассейна зависит от времени — вторая модель Дорфмана — Яговдика.

Они имеют дисперсионное соотношение с частотой, которая является мнимой функцией волновых чисел, и построение устойчивых разностных схем невозможно.

В третий класс входят первая модель Дорфмана — Яговдика

$$\begin{aligned} V_t + V(V\nabla) + g\nabla\eta + \nabla(\tilde{H}hp_{tt}) &= 1/2\nabla^2(\tilde{H}^2V_t), \\ h_t + \nabla[V(\tilde{H} + \eta - hp)] + 1/2\nabla^2(\tilde{H}^2hp_t) &= 1/6\nabla^3(\tilde{H}^3V) \end{aligned}$$

с теми же обозначениями, что и в третьей модели Дорфмана — Яговдика $H(x, y, t) = \tilde{H}(x, y) - hp(x, y, t)$ и Алешкова [9]

$$\begin{aligned} h_t + \nabla(hV) &= \nabla[h\nabla H(V\nabla H) + (\nabla H(\nabla V) + \nabla(V\nabla H))h^2/2 + \nabla(\nabla V)h^3/6], \\ V_t + \nabla(g(h-H) + 1/2|V|^2) &= \nabla[1/2(V\nabla H)^2 + [V_t\nabla H + V\nabla(V\nabla H)]h + [\nabla V_t + V\nabla V - (\nabla V)^2]h^2/2], \\ H &= H(x, y) \end{aligned}$$

с дисперсионным соотношением

$$\omega^2 = Hg(K_1^2 + K_2^2) \frac{1 + \frac{H^2}{6}(K_1^2 + K_2^2)}{1 + \frac{H^2}{2}(K_1^2 + K_2^2)},$$

в котором частота является вещественной функцией волновых чисел.

При численных расчетах используется запись модели Алешкова в виде

$$\begin{aligned} h_t + \nabla(hV) &= \nabla Q, \quad Q = (Q1, Q2), \\ Q1 &= \partial/\partial x[h\nabla H(V\nabla H) + (\nabla H(\nabla V) + \nabla(V\nabla H))h^2/2 + \nabla(\nabla V)h^3/6], \\ Q2 &= \partial/\partial y[h\nabla H(V\nabla H) + (\nabla H(\nabla V) + \nabla(V\nabla H))h^2/2 + \nabla(\nabla V)h^3/6], \\ V - \nabla[(hV\nabla H) + 1/2h^2\nabla V] &= \nabla C, \quad C_t = \Psi(\eta, u, v, H), \\ \Psi(\eta, u, v, H) &= -h_t V\nabla H - hh_t\nabla V - g(h - H) - 1/2|V|^2 + \\ &+ 1/2(V\nabla H)^2 + \nabla(V\nabla H) + h^2(V\nabla\nabla V + (\nabla V)^2). \end{aligned} \quad (7)$$

Отметим, что модели Грина — Нагди и Базденкова — Морозова — Погуще выведены без предположения о потенциальности течения, остальные из перечисленных выше — при этом предположении.

2. Описание численных алгоритмов в двумерном случае

Выпишем формулы двухпараметрического семейства схем для нелинейно-дисперсионной модели Грина — Нагди в форме (2), аналогичного рассмотренному в [1] для одномерного случая:

$$\begin{aligned} \frac{\tilde{\eta}_{i,j} - \eta_{i,j}^n}{\Delta t} + \Delta_x(h_{i,j}^n u_{i,j}^n) + \Delta_y(h_{i,j}^n v_{i,j}^n) &= 0, \\ \frac{B_{i,j}^{n+1} - B_{i,j}^n}{\Delta t} &= \Phi(\eta_{ci,j}, u_{i,j}^n, v_{i,j}^n, H_{i,j}^n), \\ u_{i,j}^{n+1} - 1/6\Delta_x[2\tilde{\eta}_{i,j} - H_{i,j}^n](u_{i,j}^{n+1}\Delta_x H_{i,j}^n + v_{i,j}^{n+1}\Delta_y H_{i,j}^n) &+ 1/6\Delta_x(4\tilde{\eta}_{i,j} + H_{i,j}^n) \times \end{aligned}$$

$$\begin{aligned}
& \times \{ -\Delta_x(\tilde{h}u_{i,j}^{n+1}) - \Delta_y(\tilde{h}v_{i,j}^{n+1}) + u_{i,j}^{n+1}\Delta_x\tilde{\eta}_{i,j} + v_{i,j}^{n+1}\Delta_y\tilde{\eta}_{i,j} \} + 1/3\tilde{h}_{i,j}[-\Delta_{xx}(\tilde{h}u_{i,j}^{n+1}) - \\
& -\Delta_x\Delta_y(\tilde{h}v_{i,j}^{n+1}) + \Delta_x(u_{i,j}^{n+1}\Delta_x\eta_{i,j}^n + v_{i,j}^{n+1}\Delta_y\eta_{i,j}^n)] - 1/6\tilde{h}_{i,j}\Delta_x(u_{i,j}^{n+1}\Delta_xH_{i,j}^n + v_{i,j}^{n+1}\Delta_yH_{i,j}^n) = B1_{i,j}^{n+1}, \\
& v_{i,j}^{n+1} - 1/6\Delta_y[2\tilde{\eta}_{i,j} - H_{i,j}^n](u_{i,j}^{n+1}\Delta_xH_{i,j}^n + v_{i,j}^{n+1}\Delta_yH_{i,j}^n) + 1/6\Delta_y(4\tilde{\eta}_{i,j} + H_{i,j}^n) \times \\
& \times \{ -\Delta_x(\tilde{h}u_{i,j}^{n+1}) - \Delta_y(\tilde{h}v_{i,j}^{n+1}) + u_{i,j}^{n+1}\Delta_x\tilde{\eta}_{i,j} + v_{i,j}^{n+1}\Delta_y\tilde{\eta}_{i,j} \} + 1/3\tilde{h}_{i,j}[-\Delta_x\Delta_y(\tilde{h}u_{i,j}^{n+1}) - \\
& -\Delta_{yy}(\tilde{h}v_{i,j}^{n+1}) + \Delta_y(u_{i,j}^{n+1}\Delta_x\eta_{i,j}^n + v_{i,j}^{n+1}\Delta_y\eta_{i,j}^n)] - 1/6\tilde{h}_{i,j}\Delta_y(u_{i,j}^{n+1}\Delta_xH_{i,j}^n + v_{i,j}^{n+1}\Delta_yH_{i,j}^n) = B2_{i,j}^{n+1}, \\
& \frac{\eta_{i,j}^{n+1} - \eta_{i,j}^n}{\Delta t} + \Delta_x(h_{ci,j}^n u_{ci,j}^n) + \Delta_y(h_{ci,j}^n v_{ci,j}^n) = 0, \tag{8}
\end{aligned}$$

где

$$\begin{aligned}
\eta_{ci,j} &= \omega\tilde{\eta}_{i,j} + (1 - \omega)\eta_{i,j}^n, & h_{ci,j} &= \eta_{ci,j} + H_{i,j}, & \tilde{h}_{i,j} &= \tilde{\eta}_{i,j} + H_{i,j}, \\
u_{ci,j} &= \delta u_{i,j}^{n+1} + (1 - \delta)u_{i,j}^n, & v_{ci,j} &= \delta v_{i,j}^{n+1} + (1 - \delta)v_{i,j}^n, \\
\Delta_x f_{i,j}^n &= \frac{f_{i+1,j}^n - f_{i-1,j}^n}{2\Delta x}, & \Delta_y f_{i,j}^n &= \frac{f_{i,j+1}^n - f_{i,j-1}^n}{2\Delta y}, \\
\Delta_{xx} f_{i,j}^n &= \frac{f_{i+1,j}^n - 2f_{i,j}^n + f_{i-1,j}^n}{\Delta x^2}, & \Delta_{yy} f_{i,j}^n &= \frac{f_{i,j+1}^n - 2f_{i,j}^n + f_{i,j-1}^n}{\Delta y^2}.
\end{aligned}$$

Отбрасывая здесь “лишние” члены, получим разностные схемы для н.-д. модели Перегрина, нелинейной и линейной мелкой воды.

Двупараметрическое семейство для н.-д. модели Грина — Нагди при предположении потенциальности течения отличается от (8) тем, что в них условие $u_y = v_x$ позволяет при вычислении $u_{i,j}^{n+1}, v_{i,j}^{n+1}$ заменить в дисперсионных членах операторы

$$\Delta_{xx}u_{i,j}^{n+1} + \Delta_{xy}v_{i,j}^{n+1}, \quad \Delta_y\Delta_xu_{i,j}^{n+1} + \Delta_{yy}v_{i,j}^{n+1}$$

на

$$\Delta_{xx}u_{i,j}^{n+1} + \Delta_{yy}u_{i,j}^{n+1}, \quad \Delta_{xx}v_{i,j}^{n+1} + \Delta_{yy}v_{i,j}^{n+1} \tag{9}$$

соответственно.

Опуская “лишние” члены, получаем разностный алгоритм типа (9) для модели Перегрина, но для него замена $u_y = v_x$ в дисперсионных членах справедлива только для $H(x, y) = \text{const}$.

Двупараметрическое семейство разностных схем для модели Алешкова (7) имеет вид

$$\frac{\tilde{\eta}_{i,j} - \eta_{i,j}^n}{\Delta t} + \Delta_x(h_{i,j}^n u_{i,j}^n) + \Delta_y(h_{i,j}^n v_{i,j}^n) = \Delta_x Q_1(h_{i,j}^n, u_{i,j}^n, v_{i,j}^n, H_{i,j}) + \Delta_y Q_2(h_{i,j}^n, u_{i,j}^n, v_{i,j}^n, H_{i,j}),$$

$$\frac{C_{i,j}^{n+1} - C_{i,j}^n}{\Delta t} = \Psi(\eta_{ci,j}, u_{i,j}^n, v_{i,j}^n, H_{i,j}),$$

$$\begin{aligned}
u_{i,j}^{n+1} - \Delta_x\tilde{h}_{i,j}(u_{i,j}^{n+1}\Delta_xH_{i,j} + v_{i,j}^{n+1}\Delta_yH_{i,j}) - 1/2(\Delta_xu_{i,j}^{n+1} + \Delta_yv_{i,j}^{n+1})\Delta_x(\tilde{h}_{i,j})^2 - \\
- 1/2(\tilde{h}_{i,j})^2(\Delta_{xx}u_{i,j}^{n+1} + \Delta_{yy}u_{i,j}^{n+1}) = \Delta_x C_{i,j}^{n+1},
\end{aligned}$$

$$\begin{aligned}
v_{i,j}^{n+1} - \Delta_y\tilde{h}_{i,j}(u_{i,j}^{n+1}\Delta_xH_{i,j} + v_{i,j}^{n+1}\Delta_yH_{i,j}) - 1/2(\Delta_xu_{i,j}^{n+1} + \Delta_yv_{i,j}^{n+1})\Delta_y(\tilde{h}_{i,j})^2 - \\
- 1/2(\tilde{h}_{i,j})^2(\Delta_{xx}v_{i,j}^{n+1} + \Delta_{yy}v_{i,j}^{n+1}) = \Delta_y C_{i,j}^{n+1},
\end{aligned}$$

$$\frac{\eta_{i,j}^{n+1} - \eta_{i,j}^n}{\Delta t} + \Delta_x(h_{ci,j}u_{ci,j}) + \Delta_y(h_{ci,j}v_{ci,j}) = \Delta_x Q_1(h_{ci,j}, u_{ci,j}, v_{ci,j}, H_{i,j}) + \Delta_y Q_2(h_{ci,j}, u_{ci,j}, v_{ci,j}, H_{i,j}). \quad (10)$$

При использовании условия (9) в схеме (8) и всегда в модели Алешкова при нахождении скоростей на следующем шаге по времени решается эллиптическая система уравнений и можно использовать известные методы их решения.

Четкое выделение в моделях Грина—Нагди и Алешкова гиперболической и эллиптической частей позволяет применять для гиперболической части различные известные аппроксимации. Так, разностные алгоритмы типа leap-frog для моделей Грина—Нагди и Алешкова получаются заменой в (8) и (10) разностных аппроксимаций для производных по времени на центральные разности, а алгоритм типа предиктора-корректора для модели Пелиновского—Железняк [10] легко обобщается на двумерный случай через схему вращения, предложенную в [11] для двумерного уравнения переноса.

Определяя значения $\eta_{i,j}^n$, $H_{i,j}^n$ в целых точках разностной сетки, а $u_{i+1/2,j}^n$, $v_{i,j+1/2}^n$ в полуцелых, получим разностную схему с разнесенными значениями возвышения свободной поверхности и скорости.

3. Анализ диссипативных и дисперсионных свойств численных алгоритмов в двумерном случае

В таблице выписаны собственные значения $\rho_i(\xi, \phi)$ матриц перехода линейных аналогов разностных схем для н.-д. моделей первого и третьего классов [12]. Здесь $\xi = K_1 \Delta x$, $\phi = K_2 \Delta x$, $\varkappa_1 = \Delta t / \Delta x$, $\varkappa_2 = \Delta t / \Delta y$. Анализ диссипативных свойств показывает, что для разностных схем leap-frog условия устойчивости схемы становятся более ограничительными, чем в (8) при условии (9) для н.-д.м. первого и в (10) для н.-д.м. третьего класса. Если $\delta + \omega = 1$, то $|\rho_i| = 1$ для любого i и всех двухпараметрических семейств схем, что согласуется со свойствами гармонических решений для самих моделей.

На рис. 1 изображены фазовые скорости гармонических решений, определяемые из дисперсионного соотношения для моделей первого класса и дисперсионного соотношения для линейных аналогов разностных схемы (8) и схемы (8) при условии (9). На рис. 2 изображены фазовые скорости гармонических решений, определяемые из дисперсионного соотношения для моделей третьего класса и дисперсионного соотношения для линейных аналогов разностной схемы (10) и разностной схемы с разнесенными разностями для моделей третьего класса. Дисперсионные соотношения для разностных схем вычислялись при $\delta + \omega = 1$, $g = H_0 = 1$, $\Delta x = \Delta y = 0.065$, $\Delta t = 0.045$.

Анализ рис. 1, 2 показывает, что фазовые скорости для гармонических решений (8) и (8) при условии (9) отличаются только для больших значений волновых чисел K_1 , K_2 . Так же, как и в одномерном случае, для модели Алешкова фазовые скорости гармонических решений модели и разностной схемы (10) для больших значений модуля волнового числа K отличаются сильнее, чем для модели Грина—Нагди и аппроксимирующих ее уравнений (8) и (8) при условии (9). Применение разностной схемы с разнесенными значениями позволяет улучшить дисперсионные свойства разностной схемы для моделей третьего класса.

Таблица

Схема	ρ	Условие устойчивости
(8)	$\rho_{1,2} = 1 - \frac{E_1}{2}(\omega + \delta) \pm i\sqrt{E_1\left(1 - \frac{(\omega + \delta)^2}{4}E_1\right)}, \quad \rho_3 = 1,$ $E_1 = \frac{gH_0(\varkappa_1^2 \sin^2 \xi C_y + \varkappa_2^2 \sin^2 \phi C_x) - 2H_0g\varkappa_1\varkappa_2 \sin \xi \sin \phi C_{xy}}{C_x C_y - C_{xy}^2},$ $C_x = 1 + 4/3H_0^2 \sin^2(\xi/2)/\Delta x^2,$ $C_y = 1 + 4/3H_0^2 \sin^2(\phi/2)/\Delta y^2, \quad C_{xy} = \frac{H_0^2 \sin \xi \sin \phi}{3 \Delta x \Delta y}$	$ \rho_{1,2} \leq 1$ для $\varkappa_1 = \varkappa_2$ $\varkappa_1^2 \leq \frac{2}{(\omega + \delta)^2 g H_0}$
(8) при условии (10)	$\rho_{1,2} = 1 - \frac{B_1}{2}(\omega + \delta) \pm i\sqrt{B_1\left(1 - \frac{(\omega + \delta)^2}{4}B_1\right)}, \quad \rho_3 = 1,$ $B_1 = gH_0(\varkappa_1^2 \sin^2 \xi + \varkappa_2^2 \sin^2 \phi)E_1,$ $E_1 = \frac{1}{1 + 4/3H_0^2(\sin^2(\xi/2)/\Delta x^2 + \sin^2(\phi/2)/\Delta y^2)}$	$ \rho_{1,2} \leq 1$ $\varkappa_1^2 + \varkappa_2^2 \leq \frac{4}{(\omega + \delta)^2 g H_0}$
(11)	$\rho_{1,2} = 1 - \frac{B_2}{2}(\omega + \delta) \pm i\sqrt{B_2\left(1 - \frac{(\omega + \delta)^2}{4}B_2\right)}, \quad \rho_3 = 1,$ $B_2 = gH_0(\varkappa_1^2 \sin^2 \xi + \varkappa_2^2 \sin^2 \phi)E_2,$ $E_2 = \frac{1 + 2/3H_0^2(\sin^2(\xi/2)/\Delta x^2 + \sin^2(\phi/2)/\Delta y^2)}{1 + 2H_0^2(\sin^2(\xi/2)/\Delta x^2 + \sin^2(\phi/2)/\Delta y^2)}$	$ \rho_{1,2} \leq 1$ $\varkappa_1^2 + \varkappa_2^2 \leq \frac{4}{(\omega + \delta)^2 g H_0}$
Leap-frog	$\rho_{1,2}^2 = 1 - 2B \pm i2\sqrt{B(1 - B)}, \quad \rho_{3,4} = 1,$ $B = B_1 \text{ для модели Грина — Нагди,}$ $B = B_2 \text{ для модели Алешкова}$	$ \rho_{1,2} = 1$ $\varkappa_1^2 + \varkappa_2^2 \leq \frac{1}{gH_0}$
Схемы с разнесенными разностями	$\rho_{1,2} = 1 - \frac{F}{2}(\omega + \delta) \pm i\sqrt{F\left(1 - \frac{(\omega + \delta)^2}{4}F\right)}, \quad \rho_3 = 1,$ $F = 4gH_0(\varkappa_1^2 \sin^2(\xi/2) + \varkappa_2^2 \sin^2(\phi/2))E_1 \text{ для модели Грина — Нагди,}$ $F = 4gH_0(\varkappa_1^2 \sin^2(\xi/2) + \varkappa_2^2 \sin^2(\phi/2))E_2 \text{ для модели Алешкова}$	$ \rho_3 = 1$ $\varkappa_1^2 + \varkappa_2^2 \leq \frac{1}{(\omega + \delta)^2 g H_0}$
Схема вращения для модели Грина — Нагди	$\rho_{1,2} = 1 - \frac{E_3}{A_1} \pm i\sqrt{\frac{E_4}{A_1}}, \quad \rho_3 = 1,$ $E_3 = gH/2(\varkappa_1^2(1 - \cos \xi)(1 + \cos \phi) + \varkappa_2^2(1 + \cos \xi)(1 - \cos \phi))$ $E_4 = 1/4(\varkappa_1^2 \sin^2 \xi(1 + \cos \phi)^2 + \varkappa_2^2 \sin^2 \phi(1 + \cos \xi)^2)$	$ \rho_{1,2} \leq 1$ $\max(\varkappa_1, \varkappa_2) \leq 1$

Диссипативные свойства разностных алгоритмов иллюстрирует решение задачи о распаде начального возвышения при нулевой начальной скорости в квадратном бассейне, на сторонах которого ставятся условия отражения от твердой стенки. Рис. 3 дает начальное возвышение на сетке $m \times n$:

$$\eta(x, y) = A\sqrt{r^2 - (16.8 - x)^2 - (16.8 - y)^2}$$

$$n = 85, \quad m = 85, \quad r = 10, \quad \Delta x = 0.4, \quad \Delta y = 0.4, \quad A = 0.05$$

и решение этой задачи на момент времени $80\Delta t$, $160\Delta t$, $\Delta t = 0.1$ по разностной схеме для модели Перегринна (8) с $\omega + \delta = 2$.

Рис. 4, 5 дают волновые картины на момент времени $200\Delta t$, когда волна отразилась от стенок, для моделей Перегринна, нелинейной и линейной мелкой воды. Влияние сглаживающего параметра $\omega + \delta$ для моделей нелинейной и линейной мелкой воды более существенно, чем для нелинейно-дисперсионных моделей, так как в последних $|\rho_i|$ при малых Δx , Δy близки к 1 для всех $\omega + \delta$.

Список литературы

- [1] КОМПАНИЕТС Л. А. Analysis of difference algorithms for nonlinear dispersive shallow water models. *Russ. J. Num. Anal. and Math. Model.*, **11**, №3, 1996, 205–222.
- [2] GREEN A. E., NAGHDI P. M. A derivation of propagation in water of variable depth. *J. Fluid Mech.*, **71**, 1976, 237–246.
- [3] ERTEKIN R. C., WEBSTER W. C., WENHAUSEN J. V. Waves caused by a moving disturbance in a shallow channel of finite width. *J. Fluid Mech.*, **169**, 1986, 275–292.
- [4] ВОЛЬЦИНГЕР Н. Е., КЛЕВАННЫЙ К. А., ПЕЛИНОВСКИЙ Е. Н. *Длинноволновая динамика прибрежной зоны*. Гидрометеоздат, Л., 1989.
- [5] БАЗДЕНКОВ С. В., МОРОЗОВ Н. И., ПОГУЦЦЕ О. Р. Дисперсионные эффекты в двумерной гидродинамике. *Докл. АН СССР*, **293**, 1987, 819–822.
- [6] PEREGRINE D. H. Long waves on a beach. *J. Fluid Mech.*, **27**, №4, 1967, 815–827.
- [7] ДОРФМАН А. А., ЯГОВДИК Г. И. Уравнения приближенной нелинейно-дисперсионной теории длинных гравитационных волн, возбуждаемых перемещениями дна и распространяющихся в бассейне переменной глубины. *Числ. методы мех. спл. среды*, **8**, №1, 1977, 36–48.
- [8] ЖЕЛЕЗНЯК М. И., ПЕЛИНОВСКИЙ Е. Н. Физико-математические модели наката цунами на берег. В *“Накат цунами на берег”*, (Под ред. Е. Н. Пелиновского), ИПФ АН СССР, Горький, 1985, 8–33.
- [9] АЛЕШКОВ Ю. З. *Теория взаимодействия волн с преградами*. Изд-во Ленингр. ун-та, Л., 1990.
- [10] ЖЕЛЕЗНЯК М. И. Воздействие длинных волн на сплошные вертикальные преграды. В *“Накат цунами на берег”* (Под ред. Е. Н. Пелиновского), ИПФ АН СССР, Горький, 1985, 122–139.
- [11] GOURLAY A. R., MORRIS J. L. Finite-difference methods for nonlinear hyperbolic systems. *Math. Comput.*, **22**, №104, 1968, 28–39.
- [12] РИХТМАЙЕР Р., МОРТОН К. *Разностные методы решения краевых задач*. Мир, М., 1972.

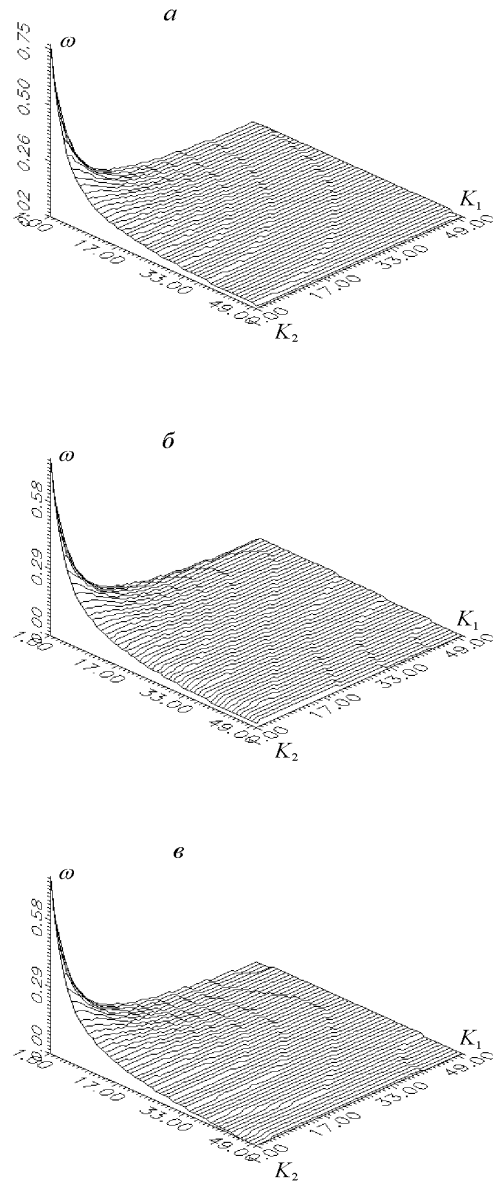


Рис. 1. Фазовые скорости, соответствующие: *a* — дисперсионному соотношению для моделей первого класса, *б* — линейному аналогу разностной схемы (8), *в* — линейному аналогу разностной схемы (8) при условии (10).

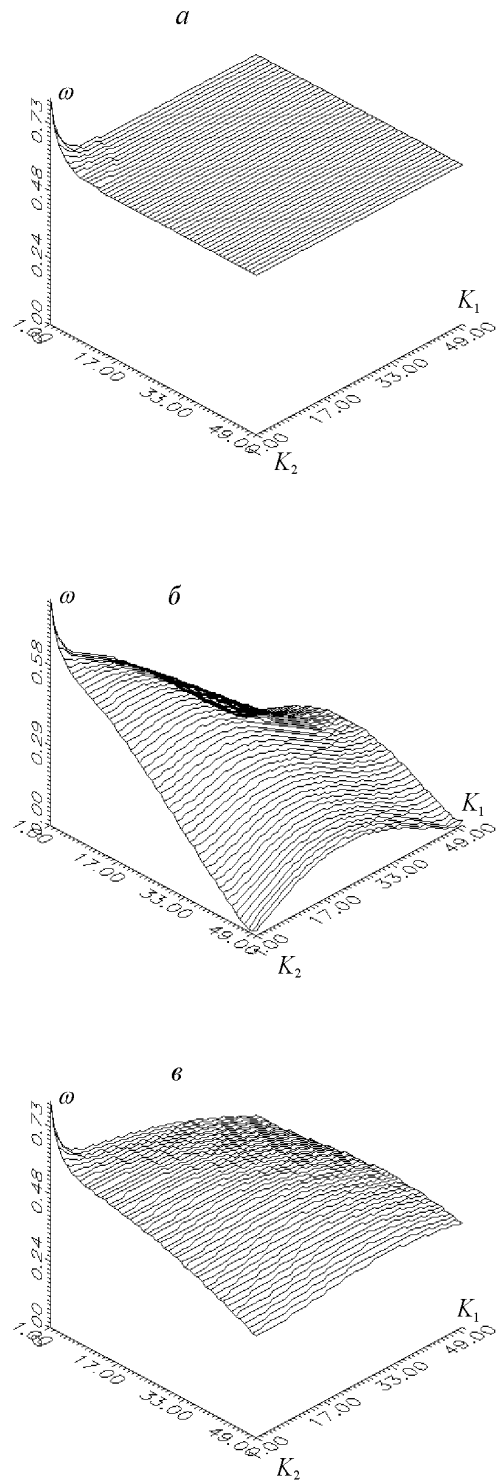


Рис. 2. Фазовые скорости, соответствующие дисперсионному соотношению для моделей третьего класса (*a*), линейному аналогу разностной схемы (11) (*б*), разностной схеме с разнесенными разностями (*в*).

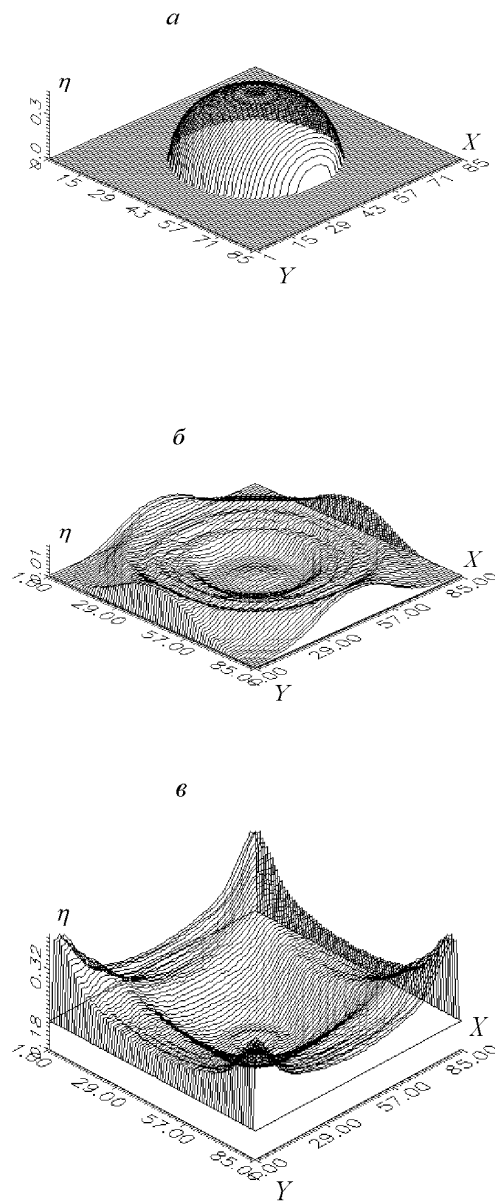


Рис. 3. Волновые картины задачи о распаде начального возвышения, модель Перегрин, $\omega + \delta = 2$ при $t = 0$ (*a*), $80\Delta t$ (*б*), $160\Delta t$ (*в*).

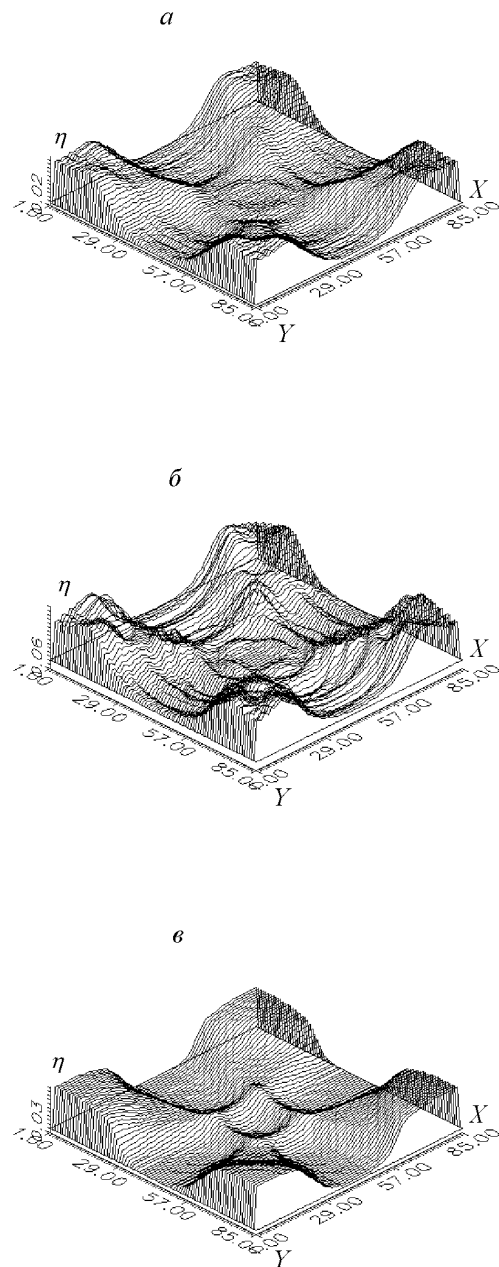


Рис. 4. Волновые картины на момент времени $200\Delta t$: *a* модель Перегринна, $\omega + \delta = 2$ (*a*), $\omega + \delta = 1$ (*б*), модель нелинейной мелкой воды, $\omega + \delta = 2$ (*в*).

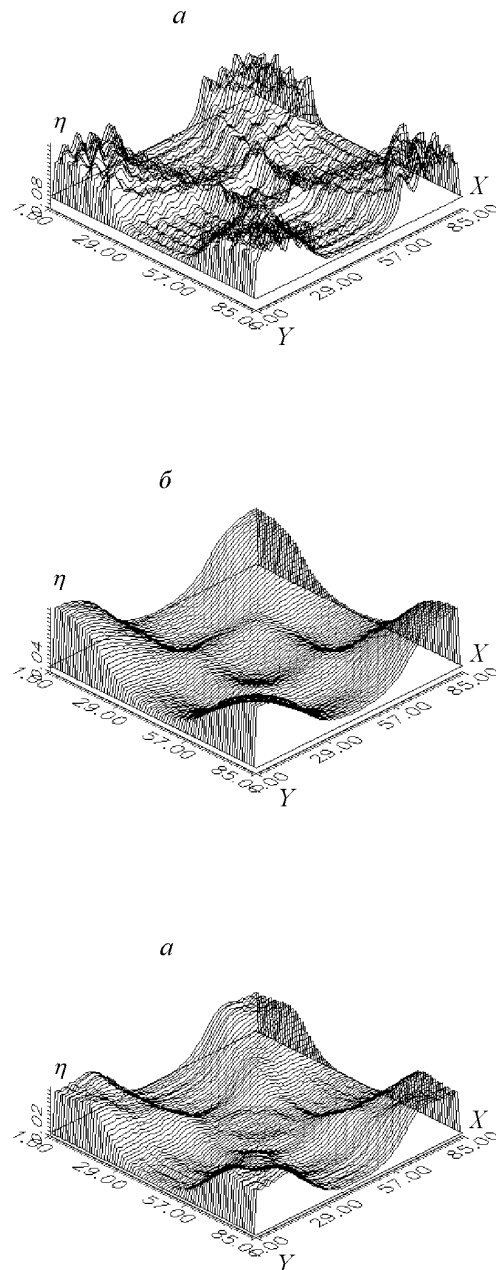


Рис. 5. Волновые картины на момент времени $200\Delta t$: модель нелинейной мелкой воды, $\omega + \delta = 1$ (*a*), модель линейной мелкой воды, $\omega + \delta = 2$ (*б*), $\omega + \delta = 1$ (*в*).